



استفاده از شیمی کانی آمفیبیول برای دما- فشارسنجدی گرانیت‌توئید بزمان، جنوب شرق ایران

محمد رضا قدسی^{*}، محمد بومری، ساسان باقری

بخش زمین‌شناسی دانشگاه سیستان و بلوچستان، زاهدان، ایران

(دریافت مقاله: ۹۳/۷/۱۴ ، نسخه نهایی: ۹۳/۱۰/۶)

چکیده: گرانیت‌توئید بزمان در حاشیه‌ی جنوبی بلوك لوت و در جنوب شرقی ایران واقع شده است. سنگ‌های این توده از گرانیت، گرانودیوریت، کوارتز مونزودیوریت، مونزودیوریت، دیوریت و گابرو تشکیل شده است. کانی‌های اصلی تشکیل دهنده‌ی آن شامل پلاژیوکلاز، فلیدسپار، کوارتز، هورنبلند و بیوتیت و کانی‌های فرعی شامل اسفن، آپاتیت، زیرکن، مگنتیت و ایلمنیت هستند. ترکیب شیمی کانی آمفیبیول در گروه آمفیبیول‌های کلسیک و از نوع اکتینولیت تا منیزیوهومنبلند قرار می‌گیرد. این آمفیبیول‌ها وابسته به فرورانش بوده و با ویژگی‌های تکتونوماگمایی پیشنهادی برای این گرانیت‌توئید یعنی حاشیه فعال قاره‌ای وابسته به فرورانش همخوانی دارد. فشارسنجدی براساس مقدار آلومینیوم، فشارتبلور آمفیبیول را ۱۰۶ تا ۱۳/۴ کیلوبار برآورد می‌کند. دما‌سنجدی هورنبلند-پلاژیوکلاز در این سنگ‌ها، دمای ۶۴۹ تا ۷۲۷ درجه‌ی سانتی‌گراد را برای به تعادل رسیدن این دو کانی نشان می‌دهد. گرینزندگی اکسیژن (۱۵/۶۶ - تا ۱۹/۳۷) حاکی از اکسیده بودن مagma و شاهدی برای تشکیل آن در ورقه‌های همگراست.

واژه‌های کلیدی: دما- فشارسنجدی؛ آمفیبیول؛ گرانیت‌توئید؛ بزمان.

بلوك لوت و در جنوب شرقی ایران قرار گرفته است. این گرانیت‌توئید با وسعت تقریبی ۹۰۰ کیلومتر مربع، بخشی از نقشه‌ی زمین‌شناسی ۱/۱۰۰۰۰۰ بزمان و مکسان است که در حد فاصل بین طول‌های جغرافیایی ۴۴°۵۹' تا ۶۰°۱۶' شرقی و عرض‌های جغرافیایی ۳۸°۲۷' تا ۴۴°۳۸' شمالی و در نزدیکی پیوستگاه چندین منطقه‌ی ساختاری مهم ایران از قبیل بلوك لوت، رشته کوه‌های شرق ایران (حوضه‌ی فلیشی شرق) و مکران قرار گرفته است. هدف از این پژوهش بررسی ترکیب شیمی کانی آمفیبیول و پلاژیوکلاز در گرانیت‌توئید بزمان به منظور شناخت مسائل سنگزایی و تکتونوماگمایی آن است. در این خصوص نظریه‌های قبلی مبنی بر وابسته بودن این گرانیت‌توئید به محیط فرورانش را که بر پایه‌ی بررسی ژئوشیمی سنگ کل ارائه شده است نیز با نتایج حاصل مورد مقایسه قرار خواهد گرفت.

مقدمه
کاربرد ترکیب شیمی کانی آمفیبیول در تعیین شرایط محیطی تشکیل گرانیت‌توئیدها موضوعی شناخته شده است [۱]. آمفیبیول-ها در دامنه‌ی گسترده‌ای از شرایط فشار و دما ظاهر می‌شوند و از سازندگان عادی سنگ‌های آذرین به ویژه سنگ‌های آذرین سری آهکی-قلیایی و سنگ‌های دگرگون به شمار می‌آیند. این کانی در سنگ‌های آذرین درونی و بسیاری از سنگ‌های آتشفسانی وجود داشته و در یک گسترده‌ی گسترده‌ی فشار و دما از ۱ تا ۲۳ کیلو بار و ۱۱۵۰-۴۰۰ درجه‌ی سانتی‌گراد پایدار است. این کانی مفیدترین کانی برای زمین-دما فشار سنجدی بوده و دما‌سنجدی هورنبلند-پلاژیوکلاز و زمین فشار سنجدی آلومینیوم در هورنبلند برای آشکارسازی دماهایی که گرانیت جایگیری می‌کنند، مناسب است [۲-۴]. گرانیت‌توئید بزمان در حاشیه‌ی جنوبی

*نویسنده مسئول، تلفن: ۰۹۱۵۵۶۰۴۵۹۰، نمبر: ۰۵۴۳۳۴۴۶۵۶۵، پست الکترونیکی: Mohammadreza.Ghodsi@gmail.com

انتخاب شدند (جدول ۱). آنالیزهای ریزپردازش الکترونی روی کانی‌های آمفیبول و پلاژیوکلاز با ابر کاوشگر خودکار مدل JEOL JXA-8600M با ولتاژ شتاب دهنده‌ی ۱۵ کیلووات و جریان تابشی 10^{-8} amp در بخش علومزمین و محیط زیست دانشگاه یاماگاتا در ژاپن انجام شد و نتایج آنالیزها در نرم افزار Minpet 2.02 و Excel 2002 بررسی شدند.

روش بررسی

در این پژوهش، نخست نمونه برداری دقیقی از گرانیت‌توبید بزمان صورت گرفت. حدود ۲۰۰ مقطع نازک از این نمونه‌ها تهیه شدند و با استفاده از میکروسکوپ قطبشی مدل Olympus مورد بررسی قرار گرفتند و پس از آشنازی با ویژگی‌های کانی‌شناختی و سنگ‌شناسی، تعداد ۴ مقطع که نمونه‌هایی سالم و فاقد دگرسانی بودند، برای آنالیز نقطه‌ای

جدول ۱ نتایج آنالیز ریزپردازش الکترونی کانی آمفیبول در گرانیت‌توبید بزمان.

Sample no	۸۰۱۱۳	۸۰۲۱۰	۸۰۲۱۱	۸۰۳۳	۷۱۱۴	۷۲۸	۷۲۹	۵۰۱۱	۵۰۱۲	۵۰۲۳	۵۰۲۶	۵۰۲۷
SiO ₂	۴۷/۱۴	۴۸/۱۶	۴۸/۴۸	۴۸/۳۹	۴۹/۴۱	۴۵/۴۵	۴۵/۴۲	۴۹/۶۵	۵۰/۶۹	۵۱/۰۳	۵۰/۵۸	۴۹/۹۰
TiO ₂	۰/۶۸	۰/۶۴	۰/۶۱	۰/۸۲	۰/۷۱	۰/۹۹	۱/۲۰	۰/۸۹	۰/۵۴	۰/۳۷	۰/۴۵	۰/۹۶
Al ₂ O ₃	۸/۳۱	۷/۶۱	۸/۳۲	۸/۳۳	۶/۵۰	۸/۱۴	۹/۲۷	۶/۴۰	۴/۸۳	۴/۴۷	۵/۸۴	۵/۹۲
FeO	۱۳/۴۰	۱۴/۳۹	۱۴/۴۹	۱۴/۰۶	۱۵/۲۵	۱۵/۶۹	۱۵/۴۴	۱۳/۵۱	۱۴/۱۳	۱۳/۳۵	۱۳/۳۶	۱۳/۷۳
MgO	۱۲/۱۷	۱۲/۱۶	۱۲/۲۲	۱۲/۴۴	۱۱/۳۷	۱۲/۰۰	۱۱/۳۳	۱۲/۶۲	۱۴/۰۳	۱۴/۹۲	۱۴/۰۱	۱۳/۷۵
MnO	۰/۳۴	۰/۴۳	۰/۳۸	۰/۴۵	۱/۴۸	۱/۴۸	۱/۵۰	۰/۴۱	۰/۴۰	۰/۳۹	۰/۵۳	۰/۴۹
CaO	۱۲/۳۴	۱۱/۹۹	۱۲/۲۹	۱۲/۰۶	۱۱/۵۳	۱۱/۷۹	۱۱/۶۳	۱۲/۴۷	۱۲/۵۳	۱۲/۸۹	۱۲/۲۶	۱۲/۲۲
Na ₂ O	۱/۰۴	۱/۰۸	۱/۰۷	۱/۰۵	۱/۱۵	۱/۳۸	۱/۵۴	۰/۸۲	۰/۵۳	۰/۴۵	۰/۷۳	۰/۸۰
K ₂ O	۰/۵۳	۰/۴۹	۰/۵۵	۰/۸۸	۰/۵۸	۰/۸۱	۰/۸۵	۰/۵۵	۰/۳۸	۰/۲۱	۰/۳۷	۰/۵۵
F	۰/۲۱	۰/۲۷	۰/۰۰	۰/۲۱	۰/۱۳	۰/۳۴	۰/۵۹	۰/۰۰	۰/۰۰	۰/۰۰	۰/۲۵	۰/۱۳
Cl	۰/۱۲	۰/۰۷	۰/۱۱	۰/۱۴	۰/۰۱	۰/۰۴	۰/۰۵	۰/۱۶	۰/۰۴	۰/۰۱	۰/۰۲	۰/۱۴
P ₂ O ₅	۰/۰۲	۰/۰۲	۰/۰۰	۰/۰۰	۰/۰۳	۰/۰۳	۰/۰۰	۰/۰۲	۰/۰۲	۰/۰۰	۰/۰۵	۰/۰۰
Total	۹۶/۳۰	۹۷/۳۲	۹۸/۵۰	۹۸/۸۲	۹۸/۱۴	۹۸/۱۴	۹۸/۸۲	۹۸/۴۸	۹۸/۱۲	۹۸/۰۹	۹۸/۴۵	۹۸/۶۰
Si	۷/۰۱	۷/۰۹	۶/۹۸	۶/۹۱	۷/۰۶	۶/۷۹	۶/۷۰	۷/۱۱	۷/۳۰	۷/۳۹	۷/۲۳	۷/۱۷
Al ^{IV}	۰/۹۹	۰/۹۱	۱/۰۲	۱/۰۹	۰/۹۴	۱/۲۱	۱/۳۱	۰/۸۹	۰/۷۱	۰/۶۱	۰/۷۷	۰/۸۳
Sum T	۸/۰۰	۸/۰۰	۸/۰۰	۸/۰۰	۸/۰۰	۸/۰۰	۸/۰۰	۸/۰۰	۸/۰۰	۸/۰۰	۸/۰۰	۸/۰۰
Al ^{VI}	۰/۴۶	۰/۴۱	۰/۳۹	۰/۳۱	۰/۱۵	۰/۱۹	۰/۳۱	۰/۲۰	۰/۱۰	۰/۱۴	۰/۲۱	۰/۱۷
Ti	۰/۰۸	۰/۰۷	۰/۰۷	۰/۰۹	۰/۰۸	۰/۱۱	۰/۱۳	۰/۱۰	۰/۰۶	۰/۰۴	۰/۰۵	۰/۱۰
Fe ³⁺	۰/۱۶	۰/۲۴	۰/۳۲	۰/۴۳	۰/۵۳	۰/۵۲	۰/۴۲	۰/۳۷	۰/۴۲	۰/۳۵	۰/۴۰	۰/۳۵
Mg	۲/۷۰	۲/۶۷	۲/۶۲	۲/۶۵	۲/۸۵	۲/۶۱	۲/۴۹	۲/۹۱	۳/۱۶	۳/۱۶	۲/۹۸	۲/۹۴
Mn	۰/۰۴	۰/۰۵	۰/۰۵	۰/۰۵	۰/۱۸	۰/۱۸	۱۹/۰	۰/۰۵	۰/۰۵	۰/۰۵	۰/۰۷	۰/۰۶
Fe ²⁺	۱/۵۱	۱/۵۳	۱/۵۴	۱/۴۷	۱/۲۲	۱/۳۸	۱/۴۶	۱/۳۷	۱/۲۱	۱/۲۴	۱/۳۰	۱/۳۷
Ca	۰/۰۶	۰/۰۳	۰/۰۱	۰/۰۰	۰/۰۰	۰/۰۰	۰/۰۰	۰/۰۱	۰/۰۰	۰/۰۲	۰/۰۰	۰/۰۰
Sum C	۵/۰۰	۵/۰۰	۵/۰۰	۵/۰۰	۵/۰۰	۵/۰۰	۵/۰۰	۵/۰۰	۵/۰۰	۵/۰۰	۵/۰۰	۵/۰۰
Fe	۰/۰۰	۰/۰۰	۰/۰۰	۰/۰۲	۰/۰۸	۰/۲۰	۰/۰۲	۰/۰۰	۰/۰۳	۰/۰۰	۰/۰۲	۰/۰۱
Ca	۱/۹۱	۱/۸۶	۱/۸۹	۱/۸۵	۱/۷۷	۱/۸۵	۱/۸۴	۱/۹۰	۱/۹۰	۱/۹۴	۱/۸۸	۱/۸۸
Na	۰/۰۹	۰/۱۴	۰/۱۱	۰/۱۴	۰/۱۶	۰/۱۴	۰/۱۴	۰/۱۰	۰/۰۷	۰/۰۶	۰/۱۰	۰/۱۱
Sum B	۲/۰۰	۲/۰۰	۲/۰۰	۲/۰۰	۲/۰۰	۲/۰۰	۲/۰۰	۲/۰۰	۲/۰۰	۲/۰۰	۲/۰۰	۲/۰۰
Ca	۰/۰۰	۰/۰۰	۰/۰۰	۰/۰۰	۰/۰۰	۰/۰۰	۰/۰۰	۰/۰۰	۰/۰۰	۰/۰۰	۰/۰۰	۰/۰۰
Na	۰/۲۱	۰/۱۷	۰/۱۹	۰/۱۵	۰/۱۶	۰/۲۶	۰/۳۰	۰/۱۳	۰/۰۷	۰/۰۶	۰/۱۰	۰/۱۱
K	۰/۱۰	۰/۰۹	۰/۱۰	۰/۱۶	۰/۱۱	۰/۱۵	۰/۱۶	۰/۱۰	۰/۰۷	۰/۰۴	۰/۰۷	۰/۱۰
Sum A	۰/۳۱	۰/۲۶	۰/۲۹	۰/۳۱	۰/۲۷	۰/۴۱	۰/۴۶	۰/۲۳	۰/۱۴	۰/۱۰	۰/۱۷	۰/۲۱
Sum Cat	۱۵/۳۱	۱۵/۲۶	۱۵/۲۹	۱۵/۳۱	۱۵/۲۷	۱۵/۴۱	۱۵/۴۶	۱۵/۲۳	۱۵/۱۴	۱۵/۱۰	۱۵/۱۷	۱۵/۲۱
Al(total)	۱/۴۶	۱/۳۲	۱/۴۱	۱/۴۰	۱/۱۰	۱/۴۰	۱/۶۱	۱/۰۸	۰/۸۰	۰/۷۵	۰/۹۸	۱/۰۰

جدول ۲ نتایج آنالیز ریز پردازش الکترونی کانی پلازیوکلار برای گرانیتوئید بزمان.

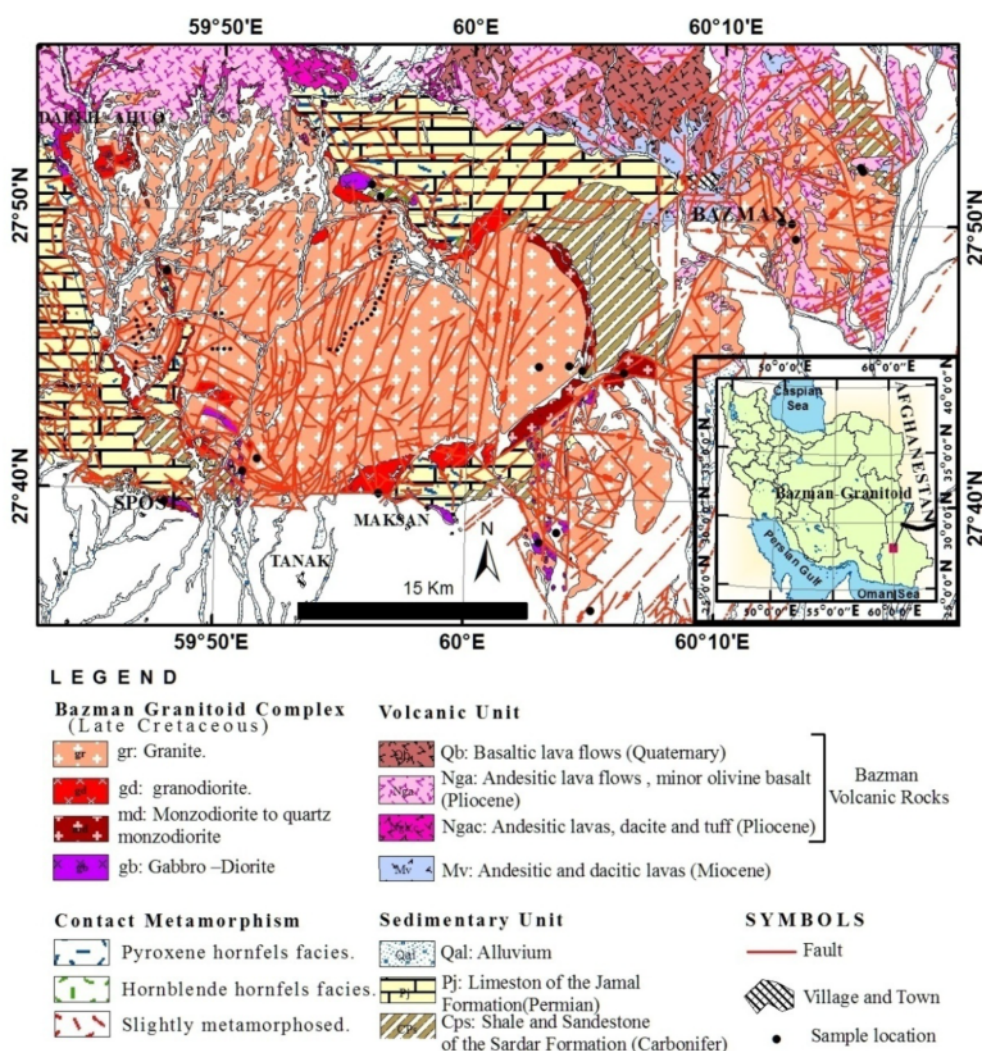
Sample	۸۰۱۵	۸۰۲۲	۸۰۲۸	۸۰۳۵	۷۱۷	۷۲۱۲	۷۲۱۴	۵۰۱۱۰	۵۰۱۷	۵۰۲۱۰	۵۰۲۱۱	۵۰۲۱۴
SiO ₂	۶۲/۶۷	۶۱/۲۵	۶۱/۱۱	۶۲/۵۷	۶۲/۷۸	۶۶/۷۴	۶۴/۶۱	۶۰/۳۳	۶۰/۳۶	۵۹/۷۲	۶۱/۶۱	۶۲/۴۲
TiO ₂	۰/۰۲	۰/۰۲	۰/۰۳	۰/۰۱	۰/۰۲	۰/۰۰	۰/۰۰	۰/۰۵	۰/۰۵	۰/۰۰	۰/۰۰	۰/۰۰
Al ₂ O ₃	۲۵/۴۷	۲۶/۰۳	۲۶/۳۹	۲۵/۵۵	۲۵/۴۰	۲۲/۳۴	۲۴/۷۲	۲۶/۹۸	۲۶/۳۹	۲۶/۹۳	۲۶/۳۱	۲۵/۹۰
FeO	۰/۴۹	۱۸/۰	۰/۱۳	۰/۱۹	۰/۱۷	۰/۱۱	۰/۱۲	۰/۱۰	۰/۱۰	۰/۱۱	۰/۰۶	۰/۲۱
MnO	۰/۰۱	۰/۰۵	۰/۰۶	۰/۰۳	۰/۰۱	۰/۰۲	۰/۰۲	۰/۰۳	۰/۰۰	۰/۰۲	۰/۰۰	۰/۰۲
MgO	۰/۰۵	۰/۰۲	۰/۰۰	۰/۰۰	۰/۰۰	۰/۰۱	۰/۰۰	۰/۰۰	۰/۰۰	۰/۰۲	۰/۰۰	۰/۰۱
CaO	۷/۳۵	۷/۴۶	۸/۲۷	۷/۳۶	۶/۱۶	۳/۹۳	۵/۷۹	۸/۴۷	۸/۳۳	۸/۸۰	۷/۳۸	۷/۲۸
Na ₂ O	۳۱/۷	۷/۲۵	۶/۶۴	۷/۳۶	۶/۵۱	۸/۳۶	۷/۴۱	۶/۷۴	۶/۴۱	۶/۶۱	۷/۳۹	۶/۹۴
K ₂ O	۰/۲۹	۰/۱۶	۰/۳۳	۰/۳۴	۰/۳۰	۰/۲۲	۰/۳۵	۰/۲۳	۰/۱۹	۰/۲۲	۰/۱۰	۰/۱۸
Total	۱۰۳/۶۵	۱۰۲/۴۲	۱۰۲/۹۶	۱۰۳/۴۰	۱۰۱/۳۴	۱۰۲/۷۲	۱۰۳/۰۱	۱۰۲/۸۸	۱۰۱/۸۳	۱۰۲/۴۶	۱۰۲/۸۵	۱۰۲/۹۵
Si	۲/۷۰	۲/۶۶	۲/۶۵	۲/۷۰	۲/۷۳	۲/۸۵	۲/۷۷	۶۲/۲	۲/۶۴	۲/۶۱	۲/۶۷	۲/۶۹
Al	۱/۲۹	۱/۳۳	۱/۳۵	۱/۳۰	۱/۳۰	۱/۱۷	۱/۲۵	۱/۳۸	۱/۳۶	۱/۳۹	۱/۳۴	۱/۳۲
Ti	۰/۰۰	۰/۰۰	۰/۰۰	۰/۰۰	۰/۰۰	۰/۰۰	۰/۰۰	۰/۰۰	۰/۰۰	۰/۰۰	۰/۰۰	۰/۰۰
Fe ²⁺	۰/۰۲	۰/۰۱	۰/۰۱	۰/۰۱	۰/۰۱	۰/۰۰	۰/۰۰	۰/۰۰	۰/۰۰	۰/۰۰	۰/۰۰	۰/۰۱
Ca	۰/۳۴	۰/۳۵	۰/۳۸	۰/۳۴	۰/۲۹	۰/۱۸	۰/۲۷	۰/۳۹	۰/۳۹	۰/۴۱	۰/۳۴	۰/۳۴
Na	۰/۶۱	۰/۶۱	۰/۵۶	۰/۶۲	۰/۵۵	۰/۶۹	۰/۶۲	۰/۵۷	۰/۵۴	۰/۵۶	۰/۶۲	۰/۵۸
K	۰/۰۲	۰/۰۱	۰/۰۲	۰/۰۲	۰/۰۲	۰/۰۱	۰/۰۲	۰/۰۱	۰/۰۱	۰/۰۱	۰/۰۱	۰/۰۱
Ab	۶۳/۲۰	۶۳/۲۰	۵۸/۱۰	۶۳/۲۰	۶۴/۴۰	۷۸/۳۰	۶۸/۴۰	۵۸/۳۰	۵۷/۵۰	۵۶/۹۰	۶۴/۱۰	۶۲/۶۰
An	۳۵/۲۰	۳۵/۸۰	۴۰/۰۰	۳۴/۸۰	۳۲/۶۰	۲۰/۴۰	۲۹/۵۰	۴۰/۴۰	۴۱/۳۰	۴۱/۹۰	۳۵/۴۰	۳۶/۳۰
Or	۱/۶۰	۱/۰۰	۱/۹۰	۲/۰۰	۲/۰۰	۱/۳۰	۲/۱۰	۱/۳۰	۱/۲۰	۱/۲۰	۰/۵۰	۱/۱۰

فعالیتهای آتشفسانی پلیوکواترزر آتشفسان بزمان وابسته‌اند که در شمال منطقه رخنمون دارند. ترکیب سنگ‌شناسی گدازه‌های آتشفسانی بیشتر بازالت، آندزیت، داسیت و توف‌های آتشفسانی وابسته به فعالیتهای آتشفسانی بزمان است [۶,۷].

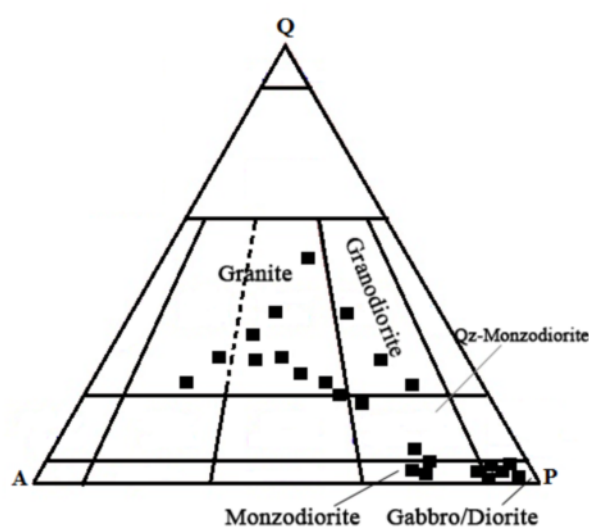
سنگ‌نگاری گرانیتوئید بزمان

برای نامگذاری سنگ‌های نفوذی از ردبهندی مودی [۸] استفاده شد. شمارش ۳۰۰۰ نقطه با دستگاه شمارنده‌ی کانی‌ها برای هر نمونه صورت گرفت. بنابر این ردبهندی، سنگ‌های گستره‌ی مورد بررسی گرانیت، گرانودیوریت، کوارتزمونزدیوریت، مونزدیوریت، دیوریت و گابرو نامگذاری شده‌اند (شکل ۲). کانی‌های تشکیل دهنده‌ی این گرانیتوئید شامل کوارتز، پلازیوکلار، فلدسپات، هورنبلند، بیوتیت، مسکویت، اسفن، آپاتیت، زیرکن، مگنتیت و ایلمنیت است. هورنبلند و بیوتیت کانی فرومینیزین غالب در گرانیتوئید بزمان است (شکل ۳).

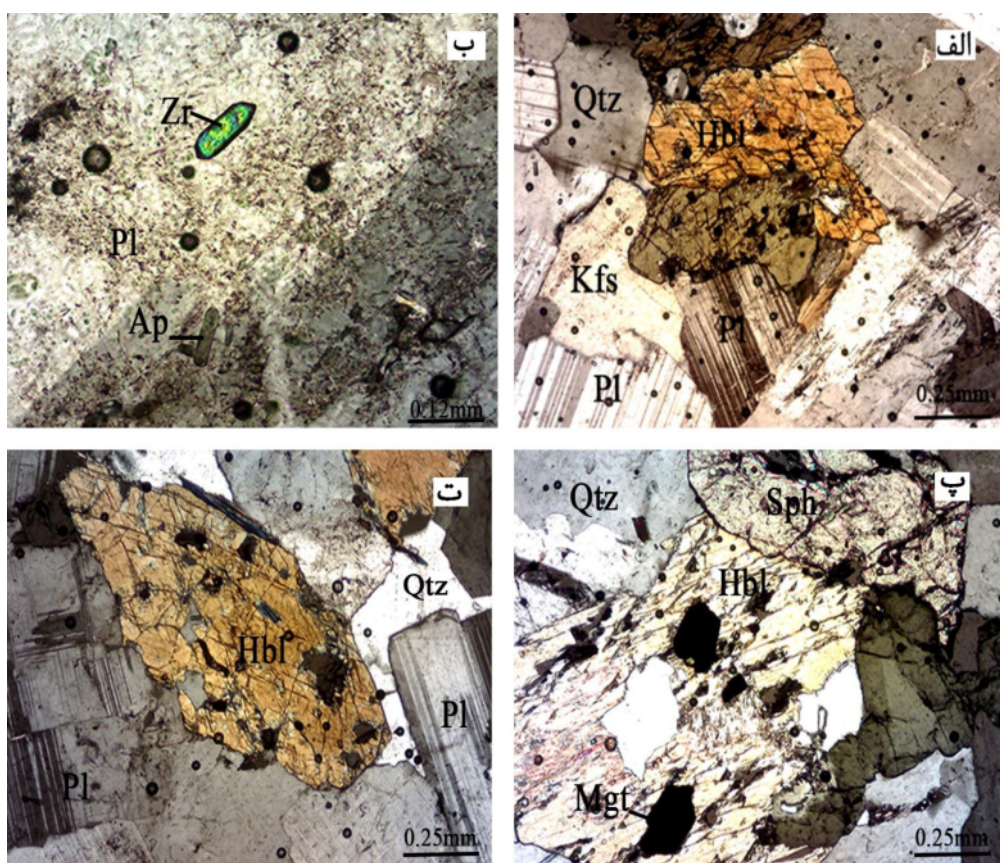
زمین‌شناسی گرانیتوئید بزمان
گرانیتوئید بزمان در ۱۰۰ کیلومتری شمال غرب ایرانشهر، حاشیه جنوبی بلوك لوت و در جنوب شرقی ایران واقع شده است. این گرانیتوئید به درون سنگ‌های قدیمی‌تر از قبیل شیل، ماسه سنگ و سنگ آهک (سازند سردر) به سن کربنیفر و آهک و دولومیت‌های (سازنده جمال) به سن پرمین نفوذ کرده است (شکل ۱). سنگ‌های حد واسط به صورت نوار منقطع در حاشیه‌ی گرانیتوئید و در اطراف بخش‌های اسیدی رخنمون دارند. نتیجه‌ی سن‌سنگی به روش روبیدیوم-استرانسیوم که روی شماری از نمونه‌های گرانیتی توسط بربیان [۵] انجام شد، سنی معادل ۷۴ تا ۶۴ میلیون سال را نشان داده است که به اواخر کرتاسه پسین و اوایل پالئوسن مربوط می‌شود. شار گرمایی برخاسته از نفوذ گرانیتوئید بزمان به درون واحدهای رسوبی (سازند جمال و سردر) منجر به پیدایش رخساره‌های دگرگون مجاورتی از قبیل آندالوزیت، کردیریت هورنفلس شده است. جوانترین فعالیت ماغمایی در گستره‌ی مورد بررسی به



شکل ۱ نقشه‌ی ساده‌ی زمین‌شناسی گرانیتوئید بزمان ، اقتباس از نقشه‌ی زمین‌شناسی ۱:۱۰۰۰۰۰ بزمان و مکسان [۶۷] با تغییرات توسط نگارندگان.



شکل ۲ موقعیت نمونه‌ها در مثلث نام‌گذاری مودی سنگ‌های نفوذی [۸].



شکل ۳ تصاویر میکروسکوپی انتخابی از رخمنون‌های مختلف سنگی(XPL): (الف) و (ب) تصاویر میکروسکوپی از سنگ‌های گرانیتی همراه با بلورهای هورنبلند، پلاژیوکلاز، کوارتز، فلدسپار، آپاتیت و زیرکن، (پ) تصویر میکروسکوپی از سنگ‌های گرانودیبوریت همراه با بلورهای هورنبلند، اسفن، کوارتز و مگنتیت، (ت) تصویر میکروسکوپی از سنگ‌های کوارتز مونزودیبوریتی همراه با بلورهای کوارتز، هورنبلند و پلاژیوکلاز.

(۱۴-۲۶)، کوارتز (۱۵-۲۴)، هورنبلند (۵/۷-۹/۱)، بیوتیت (۱/۶-۱۰/۳)، اسفن (۰-۰/۷) و کانی‌های تیره (۰/۸-۱/۷) درصد حجمی سنگ را تشکیل می‌دهند.

مونزودیبوریت (کوارتز مونزودیبوریت)

این گروه از سنگ‌ها در حاشیه‌ی شرقی توده‌ی اصلی گرانیت بزمان و به صورت توده‌های کوچک رخمنون دارند. پلاژیوکلاز (۴۵-۶۶)، فلدسپار پتاسیم (۱۵-۲۱)، کوارتز (۱۵-۲۶)، هورنبلند (۲/۷-۱۸)، بیوتیت (۰/۰۳-۱۲/۲۶)، اسفن (۰-۰/۸) و کانی‌های تیره (۰/۰۶-۱/۴۶) درصد حجمی سنگ را تشکیل می‌دهند. مگنتیت و ایلمنیت کانی غالب تیره و بافت آن‌ها دانه‌ای (متوسط-درشت) است.

دیوریت

دیوریت‌ها دارای بافت دانه‌ای و به صورت رخمنون‌های کوچکی در حاشیه‌ی گرانیت‌وئید بزمان مشاهده می‌شوند. برونیوم‌هایی از سنگ‌های دیوریتی در سنگ‌های گرانیتی دیده می‌شود.

گرانیت

گرانیت‌ها فراوان‌ترین واحد سنگی گرانیت‌وئید بزمان است که آن‌ها را می‌توان از نظر بافت به دو دسته پورفیری و دانه‌ای رده کرد. گرانیت‌های پورفیری حاوی درشت بلورهای ارتوز هستند که بیشتر در بخش غربی گرانیت‌وئید بزمان رخمنون دارند. در حالی که گرانیت‌های دانه‌دار در بخش شرقی مشاهده و به طور محلی حاوی کانی‌های بی‌شکل گارنت و مسکویت هستند. فلدسپار پتاسیم (۱۸-۴۵)، پلاژیوکلاز (۲۴-۳۷)، کوارتز (۴۷-۲۳)، هورنبلند (۰/۱-۸)، بیوتیت (۱/۳-۷/۲)، اسفن (۰-۰/۲)، مسکویت (۰-۲)، گارنت (۰-۰/۷) و کانی‌های تیره (۰-۰/۹) درصد حجمی سنگ را تشکیل می‌دهند.

گرانودیبوریت

گرانودیبوریت‌ها بزمان بافت دانه‌ای دارند و بیشتر در حاشیه‌ی توده‌ی اصلی گرانیت بزمان مشاهده و به‌وسیله گرانیت‌های پورفیری قطع می‌شوند. پلاژیوکلاز (۴۱-۴۷)، فلدسپار پتاسیم

الکترونی محاسبه و فرمول ساختاری آن‌ها بنابر فرمول استاندارد آمفیبول $\text{AB}_2\text{C}_5\text{O}_{22}\text{OH}_2$ و بر پایه ۲۳ اکسیژن در جدول ۱ ارائه شده است. چنانکه شکل ۴ نشان می‌دهد، براساس رده بندی لیک [۹] ترکیب آمفیبول‌های مورد

بررسی جزء گروه آمفیبول‌های کلسیک بوده و در زیر گروه اکتینولیت هورنبلندها منیزیوهومنبلنده قرار می‌گیرند. برخی از پژوهشگران [۲-۴] حضور آمفیبول‌ها کلسیک در سنگ‌های گرانیتوئیدی را نشانه‌ی وابستگی این سنگ‌ها به توده نفوذی نوع I می‌دانند.

آمفیبول‌های آذرین و دگرگون به وسیله شاره‌ی [۱۰] براساس مجموع کاتیون‌های $\text{Na} + \text{K} + \text{Ca}$ نسبت به Si از هم جدا می‌شوند. بنابراین رده‌بندی، نمونه‌های مورد بررسی در گستره‌ی آمفیبول‌های حاصل از تبلور ماقما قرار گرفته و از آمفیبول‌های حاصل از فرآیند دگرگونی تمیز داده شدند (شکل ۵).

پلازیوکلاز (۴۵/۷۳-۵۵/۸۹)، فلدسپار پتاسیم (۱/۵-۵/۵)، کوارتز (۱/۵-۳/۹)، هورنبلندها (۳/۳-۱۶/۸۷)، بیوتیت (۱۴/۸۱-۲۱/۷۶) و کانی‌های تیره (۰-۱/۳۸) درصد حجمی سنگ را تشکیل می‌دهند.

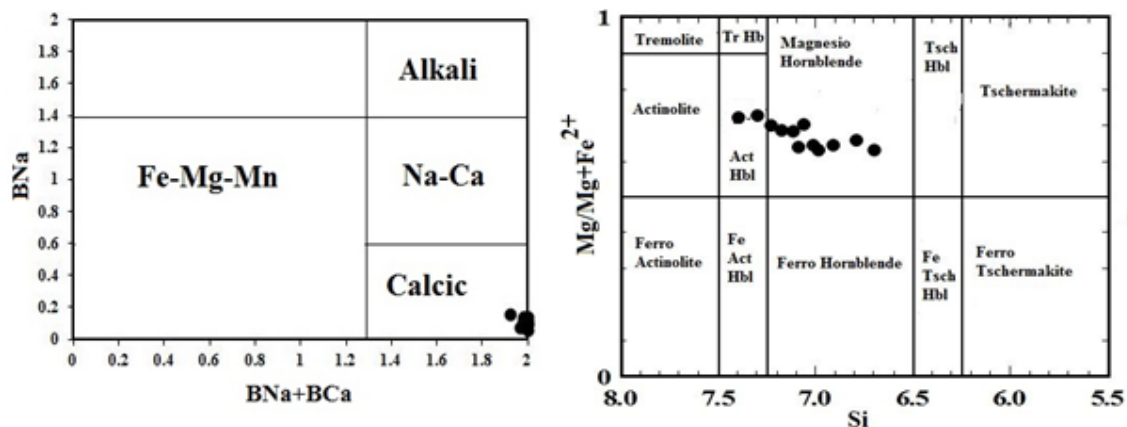
گابرو

سنگ‌های گابرویی بافت‌های مختلفی از قبیل میان دانه، پوئی کلیتیک و دانه‌ای دارند. گابروها به صورت توده‌های کوچک در حاشیه‌ی جنوبی و غربی گرانیتوئید بزمان رخمنون دارند. پلازیوکلاز (۶۵/۷-۴۷)، کلینوپیروکسن (۱۳/۵-۱۱/۹)، فلدسپار پتاسیم (۷-۴/۷)، کوارتز (۱۱/۷-۰/۷)، هورنبلندها (۳۱-۰/۰)، بیوتیت (۱/۴-۶/۱) و کانی‌های تیره (۱/۷-۵/۱) درصد حجمی سنگ را تشکیل می‌دهند.

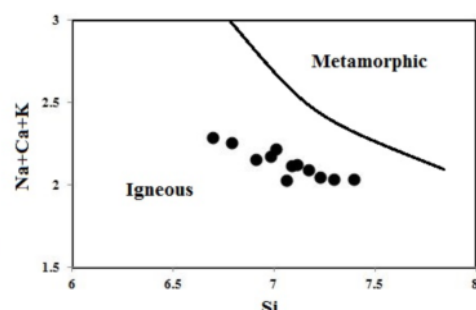
بحث و بررسی

شیمی کانی آمفیبول

آمفیبول مهم‌ترین کانی مافیک موجود در گرانیتوئید بزمان است. نتایج حاصل از تجزیه‌ی این کانی به روش ریز پردازشی



شکل ۴ رده بندی آمفیبول‌های گرانیتوئید بزمان براساس ترکیب شیمیایی آن‌ها.



شکل ۵ جداسازی آمفیبول‌های حاصل از فرآیندهای آذرین و آمفیبول‌های حاصل از دگرگونی به روش شاری [۱۰].

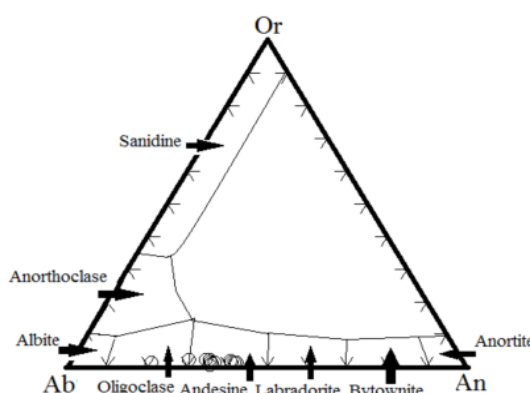
(intraplate) استفاده شده است [۱۳]. آمفیبول‌های وابسته به فرورانش، Na_2O ، TiO_2 و S-Amph پایین‌تری نسبت به انواع میان صفحه‌ای (I-Amph) دارند. براساس نمودار رده‌بندی تکتونوماگمایی کولتورتی [۱۳] آمفیبول‌های منطقه در گستره‌ی آمفیبول‌های وابسته به مناطق فرورانش قرار می‌گیرند (شکل ۷). این نتیجه با نتایج ژئوشیمی سنگ کل همخوانی دارد [۵]. از طرف دیگر مقدار $\text{Al}^{IV}=1.5$ به عنوان مرز جداش محیط تکتونوماگمایی آمفیبول‌ها در نظر گرفته شده است. به گونه‌ای که ارقام بالاتر از ۱.۵ به آمفیبول‌هایی وابسته‌اند که در فشارهای در حدود ۱۰ کیلوبار و در محیط‌های زمین ساختی جزائر قوسی شکل می‌گیرند و ارقام پایین تر از ۱.۵ معرف آمفیبول‌های هستند که در کرانه‌های فعال قاره‌ای تشکیل شده‌اند [۱۴-۱۶]. بر این اساس و با توجه به مقدار Al^{IV} (جدول ۱) بیشتر آمفیبول‌های منطقه مورد بررسی مقادیر کمتر از ۱.۵ داشته و در قلمرو حاشیه‌ی فعال قاره‌ای وابسته به فرورانش قرار می‌گیرند که با نتایج حاصل از بررسی ژئوشیمی سنگ کل همخوانی دارد [۵].

شیمی کانی پلازیوکلاز

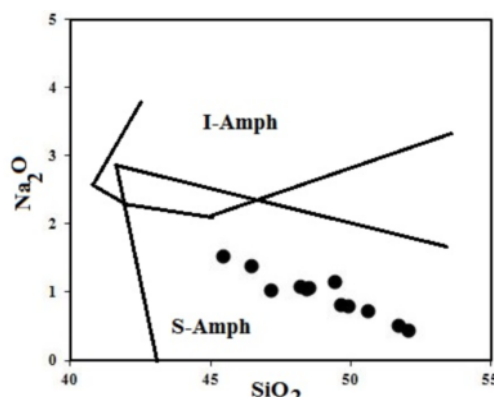
برای پی بردن به ترکیب شیمیایی این کانی، در ۴ نمونه، از پلازیوکلازها مورد بررسی ریز پردازشی الکترونی قرار گرفتند که نتایج آن در جدول (۲) آمده‌اند. شکل (۶) ترکیب پلازیوکلازهای در گرانیت‌وئید بزمان را در نمودار آلبیت-آنورتیت [۱۱] نشان می‌دهد. گستره‌ی ترکیبی پلازیوکلازها از الیگوکلاز تا آندزین تغییر می‌کند. تغییرات محدود گستره‌ی ترکیبی این پلازیوکلازها در زمین‌فشارسنجی، بر مبنای محتوای Al در هورنبلند به عنوان یک ویژگی مناسب تلقی می‌شود [۱۲]. برای دماسنجی با استفاده از زوج آمفیبول-پلازیوکلاز همزیست، پلازیوکلازها نباید دارای منطقه‌بندی باشد که این در بررسی نقطه‌ای پلازیوکلازها مورد نظر بوده است.

تعیین محیط زمین‌ساختی گرانیت‌وئید بزمان با استفاده از ترکیب آمفیبول

از ویژگی‌های ژئوشیمیایی آمفیبول‌ها که بیشتر بر پایه‌ی بررسی زینولیت‌های گذشته حاصل شده‌اند، برای مقایسه ویژگی‌های دگرنهادی محیط‌های تکتونوماگمایی مختلف به ویژه محیط‌های فرو رانش (subduction) و درون صفحه‌ای



شکل ۶ رده‌بندی جدا کننده پلازیوکلازها در گرانیت‌وئید بزمان.



شکل ۷ نمودار رده‌بندی تکتونوماگمایی آمفیبول‌های گرانیت‌وئید بزمان.

[۲۱ و ۲۰]. در همهٔ روش‌های برآورد فشار به جز روش اندرسون و اشمت [۲۲] فقط از روی میزان آلومینیوم موجود در هورنبلند و بدون توجه به پارامترهای دیگری چون دما محاسبه می‌شود.

با استفاده از نمودار ۸ که براساس پارامتر Al کل نسبت به $(Fe^*/(Mg+Fe^*))$ طراحی شده است [۲۰] می‌توان ارزیابی کرد که آمفیبول‌های گرانیتوئید بزمان در گسترهٔ فشار ۰/۸ تا ۳/۸ کیلوبار (عمق تقریبی ۳ تا ۱۲ کیلومتر) متبلور شده‌اند.

در این بررسی برای برآورد فشار تبلور آمفیبول‌های انتخابی از چهار روش مرسوم زمین شناختی، براساس محتوای Al موجود در هورنبلند استفاده شد [۱۲، ۱۸-۲۰]. براساس فرمول [۱۲، ۳/۳۶، ۴/۳۳، ۴/۱۹] بیشینه فشار محاسبه شده، ۱/۶۷ کیلو بار به ۴/۶۶ و کمینه فشار ۱/۳۰، ۰/۷۸، ۰/۷۹ کیلو بار به ترتیب برای گرانیتوئید بزمان محاسبه شدند. نتایج محاسبه‌ی فشار به روش‌های مختلف نزدیک هم بوده و نتایج فشارسنجی بر اساس مقدار آلومینیوم، فشار تبلور آمفیبول را ۱/۰۶ تا ۴/۱۳ کیلو بار برآورد می‌کند.

به‌طور کلی میزان تغییرات با توجه به انحراف‌های استاندارد به دست آمده برای هریک از این روش‌ها نسبتاً ناچیز است. در همهٔ روش‌های فوق چنانکه در بالا یادآوری شدند، فشار موجود در محیط فقط به مقدار Al کل نسبت داده شده و پارامترهای دیگر نظریه دمای محیط مورد توجه نبوده است. اندرسون و اشمت (۱۹۹۵) [۲۲] نشان دادند که مقدار Al کل نه تنها به فشار بلکه به دمای محیط و گریزندگی اکسیژن نیز در ارتباط است و فرمولی را به صورت زیر ارائه دادند:

$$P_{(\pm 0/6\text{kbar})} = -3.01 + 4.76 \{ (T_{[^\circ\text{C}]} - 675)/85 \} * \{ 0.53 \text{Al}_{\text{total}} + 0.005294 * (T_{[^\circ\text{C}]} - 675) \}$$

$$r^2 = 0.99$$

این رابطه دارای کمترین خطای نسبت به روش‌های دیگر است. نتایج محاسبات فشارسنجی با این روش محاسبه شدند. کمینه و بیشینه میانگین فشار با روش اندرسون و اشمت به ترتیب ۱/۰۲ و ۳/۲۱ کیلو بار محاسبه شدند.

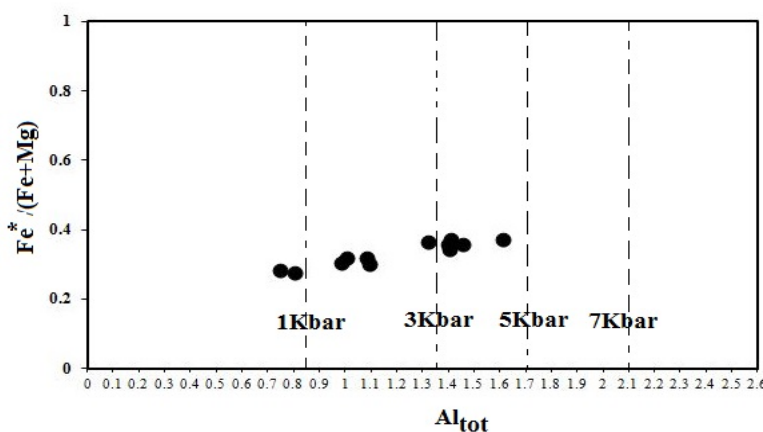
بربریان و همکاران [۱۷] با استفاده از شواهد زمین‌شناسی نشان دادند که این گرانیتوئید ویژگی‌های ماقماتیسم نوع آندی داشته و ترکیب شیمیایی آن از حاشیه به مرکز اسیدی‌تر می‌شود. به‌نظر بربریان [۵]، این گرانیتوئید روی منطقه‌ی فروراش عمان (پوسته‌ی اقیانوسی عربی) جای دارد و حاصل ذوب گوشته یا پوسته‌ی اقیانوسی (عمان) به زیر ورقه ایران مرکزی است که در کواترنری با فوران‌های آتش‌فشان‌های آهکی بزمان، تفتان و کوه سلطان (پاکستان) همراه شده است.

زمین دما- فشارسنجی

آمفیبول یکی از فراوان‌ترین کانی‌های تیره گرانیتوئید بزمان است. این پدیده گویای غنی بودن ماقمای در حال تبلور از سازند آب است. معمولاً از آمفیبول برای تعیین فشار حاکم بر محیط تبلور ماقما در مجموعه‌های گرانیتوئیدی استفاده می‌شود. آمفیبول بهترین کانی در دما و فشارسنجی در سنگ‌های آذرین آهکی- قلیایی است، زیرا تقریباً در تمام توده‌های نفوذی آهکی- قلیایی صرف‌نظر از ترکیب‌های بازی- حدواسط یا اسیدی متبلور می‌شود و در گستره‌ای از دما و فشار از ۱ تا ۲۳ کیلوبار و در دمای ۴۰۰ تا ۱۱۵۰ درجه سانتی‌گراد پایدار است [۴-۲].

زمین فشارسنجی

آمفیبول‌های گرانیتوئیدها به‌طور گستره‌ای برای برآورد فشار و عمق جایگرینی توده‌های گرانیتوئیدی مورد استفاده قرار گرفته‌اند [۱۲، ۱۸ و ۱۹]. روش‌های فشارسنجی برای آمفیبول، مبتنی بر اندازه‌گیری مقدار Al موجود در آمفیبول‌اند، زیرا مقدار Al در ارتباط مستقیم با عمق جایگری توده‌هاست. هرچه مقدار Al موجود در آمفیبول بیشتر باشد عمق محاسبه شده بیشتر خواهد بود. ولی مقدار Al موجود در آمفیبول‌ها با شرایط محیط و مجموعه‌ای از عوامل تغییر کرده و در نتیجه باعث خطا در فشار محاسبه شده می‌شود. لذا آمفیبول باید دارای ویژگی‌هایی به شرح زیر باشد تا تعیین فشار واقعی انجام شود [۱۸، ۱۲-۲۰]. اولین ویژگی وجود مجموعه کانی‌های کوارتر، فلدسپارقلیایی، پلاژیوکلارز، بیوتیت، هورنبلند و اسفن در سنگ است. دیگر پارامترهای موثر فشار، دما، گریزندگی اکسیژن و ترکیب سنگ کل است که همهٔ آن‌ها در مقدار Al موجود در هورنبلند نقش دارند. بنابراین ترکیب هورنبلند، فشار (عمق تبلور)، انجام ماقما را بازتاب می‌دهد



شکل ۸ نمودار Al_{total} - XFe^* آمفیبول‌ها که گستره فشار تشکیل گرانیتوئید بزمان را نشان می‌دهد [۲۰].

وینهال و همکاران [۱۶] نیز رابطه‌ی زیر را در فشارهای ۱-۲۰ کیلوبار و گریزندگی HM-QFM برای تعیین دمای تعادل هورنبلند و پلازیوکلاز ارائه کردند.

$$T [^{\circ}\text{C}] = 654.9 + 25.3P$$

براساس فرمول بالا بیشینه و کمینه دمای محاسبه شده به ترتیب برابر با ۷۵۴ و ۶۹۷ درجه‌ی سانتی گرادند.

تعیین گریزندگی اکسیژن محیط تشکیل آمفیبول‌ها یکی از روش‌های ارزیابی مقدار گریزندگی اکسیژن در سنگ‌های نفوذی، بررسی ترکیب آمفیبول‌هایی است که از نظر شیمیایی دارای $\text{Al}^{IV} > 0.75$ و دارای نسبت منیزیوهومنبلندهای منطقه، منیزیوهومنبلندهای این سنگ‌ها دارا این شرایط هستند. نسبت $(\text{Fe}^*/(\text{Fe}^*+\text{Mg}))$ در منیزیوهومنبلندهای با افزایش روند جدایش از ۲۸ تا ۳۶، افزایش می‌باشد و مقدار آلومینوم چهار و جهی از ۰/۶۱ تا ۱/۳۰ تغییر می‌کند. چنانکه در شکل ۹ نشان داده شد، آمفیبول‌های مورد بررسی در شرایط گریزندگی نسبتاً بالا تشکیل شده‌اند. هر چه گریزندگی اکسیژن کمتر باشد Fe^{2+} می‌تواند به مقدار بیشتری در شبکه‌ی هورنبلند جایگزین شود. بالا بودن نسبت $\text{Fe}^{3+}/\text{Fe}^{2+}$ باعث جانشینی بیشتر Mg به وسیله Al می‌شود [۴]. برای محاسبه‌ی میزان گریزندگی اکسیژن از رابطه‌ی ونز [۲۴] استفاده شده است:

$$\text{Log}f_{02} = -30930/T + 14.98 + 0.142(P-1)/T$$

زمین دماسنجی هورنبلند- پلازیوکلاز

روش بلوندی و هولاند [۲۳]

بلوندی و هولاند [۲۳] روشی را برای دماسنجی براساس واکنش ادنیت- ترمولیت با استفاده از زوج آمفیبول- پلازیوکلاز همزیست ارائه کردند. این زمین دماسنج برای دماهای بین ۵۰۰ تا ۱۱۰۰ درجه‌ی سانتی گراد قابل استفاده است. از آنجا که محاسبه‌ی دما در این روش زمین دماسنجی تابعی از فشار است، لازم است تا فشار نیز محاسبه شود به همین منظور آمفیبول‌ها و پلازیوکلازهای همزیست را انتخاب کرده و محاسبات زمین دماسنجی و زمین دماسنجی برای آن‌ها انجام شد. فشار در همه‌ی روابط دماسنجی با استفاده از زمین فشارسنجی اشميit [۲۰] محاسبه شد. اين دماسنج براساس رابطه زير استوار است:

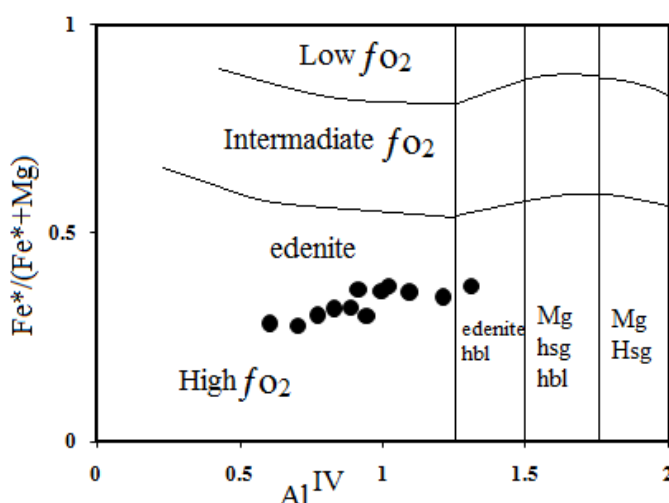
$$T (\pm 311 \text{ kbar}) = 0.677P (\text{kbar}) - 48.98 + Y_{\text{Ab}}/(-0.0429 - 0.0083144 \text{Ln}(\text{Si}-4/8-\text{Si}) X_{\text{Ab}}^{\text{Plg}})$$

در اين رابطه T دمای تعادلی بر حسب کلوین، P فشار بر حسب کیلوبار، Si تعداد کاتیون‌های سیلیسیم در فرمول ساختاري آمفیبول $X_{\text{Ab}}^{\text{Plag}}$ میزان درصد آلیت در پلازیوکلاز است مقدار Y_{Ab} از روابط زير به دست می‌آيد:

$$X_{\text{Ab}} > 0.5, Y_{\text{Ab}} = 0$$

$$X_{\text{Ab}} < 0.5, Y_{\text{Ab}} = 8.06 + 25.5(1-X_{\text{Ab}})^2$$

با استفاده از اين روش دمای تعادل آمفیبول و پلازیوکلاز در نمونه‌های گرانیتوئید بزمان از ۶۴۹ درجه‌ی سانتی گراد تا ۷۲۷ درجه‌ی سانتی گراد تغیير می‌کند.



شکل ۹ نمودار گریزندگی اکسیژن بر پایه ترکیب آمفیبول‌ها [۲۲]. نمودار بالا بودن نسبی گریزندگی اکسیژن در زمان تبلور آمفیبول را نشان می‌دهد.

۳-زمین فشارسنجدی بر اساس مقدار آلومینیوم موجود در آمفیبول‌های مورد بررسی، کمینه و بیشینه، فشار ارزیابی شده معادل ۱,۰۶ تا ۱,۱۳ کیلو بار و عمیق تقریبی ۳ تا ۱۵ کیلومتر را نشان می‌دهد.

۴-حضور همزمان مگنتیت، اسفن و کوارتز همراه با آمفیبول در سنگ‌های منطقه نشان دهنده بالا بودن گریزندگی اکسیژن در مagma‌های سازنده این سنگ‌های است. این با محاسبه کمی مقدار گریزندگی اکسیژن تایید می‌شود که برای نمونه‌های گرانیتوئید بزمان، کمینه و بیشینه محاسبه شده به ترتیب ۱۵,۶۶ bars و ۱۹,۳۷ bars است. گریزندگی بالای اکسیژن نشان دهنده تشکیل این توده‌های گرانیتوئیدهای در ارتباط با مرزهای همگراست. این یافته در مقایسه با نتایج قبلی (شیمی کل سنگ) همخوانی دارد.

مراجع

- [1] Zhang S.H., Zhao Y., Song B., "Hornblende thermobarometry of the Carboniferous granitoids from the Inner Mongolia Paleo-uplift: implications for the tectonic evolution of the northern margin of North China block", Mineralogy and Petrology, 87 (2006) 123-141.
- [۲] داویدیان دهکردی ع.، "شیمی کانی‌ها و شرایط فشار-دمای تبلور توده‌های گرانیتوئیدی حاشیه رودخانه زاینده رود، پهنه

با استفاده از رابطه‌ی ونز، کمینه و بیشینه $\text{Log}f_{\text{O}_2}$ برای گرانیتوئید بزمان به ترتیب ۱۵,۶۶ - ۱۹,۳۷ - محاسبه شدند. لازم به یاد آوری است که حضور همزمان مگنتیت، اسفن و کوارتز همراه آمفیبول در کوارتز مونزدیبوریت‌ها، گرانو-دیبوریت‌ها و گرانیت‌های منطقه مبین بالا بودن گریزندگی اکسیژن و نشان دهنده‌ی تشکیل این گرانیتوئیدهای در ارتباط با مرزهای ورقه‌های همگراست [۲۲]. همچنین حضور مگنتیت، پایین بودن نسبت ایزوتوپی $^{87}\text{Sr}/^{86}\text{Sr}$ (۰,۷۰۴)، ترکیب سنگ‌شناسی و کانی‌شناسی (گرانیت-گابرو) و شیمی کل سنگ دلالت برسری مگنتیت نوع I بودن این گرانیتوئیدها دارد [۲۵، ۵].

برداشت

بررسی شیمی کانی آمفیبول در گرانیتوئید بزمان نشان می‌دهد که:

- ۱-کلیه آمفیبول‌های مورد بررسی طی فرایندهای آذرین تشکیل شده و در گروه آمفیبول‌های کلسیک و زیر گروه مینزیو-هورنبلند قرار می‌گیرند که شاخص توده‌های نفوذی نوع I هستند.
- ۲-این آمفیبول‌ها بیشتر در گستره آمفیبول‌های وابسته به مناطق فرورانش (S-Amph) قرار می‌گیرند. که با نتایج حاصل از تعیین محیط زمین‌ساختی با استفاده از ژئو شیمی سنگ کل همخوانی دارند.

- northeastern Brazil", Journal of South American Earth Science*, 11, (1998) 457-471.
- [11] Deer W.A., Howie R.A., Zussman J., "An introduction to the rock forming minerals", Longman Scientific and Technical, (1991), 528 P.
- [12] Hollister L.S., Grissom G.C., Peters E.K., Stowell H.H., Sisson V.B., "Confirmation of the empirical correlation of Al in hornblende with pressure of solidification of calc-alkaline plutons", *American Mineralogist* 72 (1987) 231–239.
- [13] Coltorto M., Bondaiman C., Faccini B., Geogoire M., O'Reilly S.Y., Powell W., "Amphibol from suprasubduction and intraplate lithospheric mantle", *Lithos*, 99 (2007) 68-84.
- [14] Miyashiro A., "Volcanic rock series in island arc and active continental margins", *American Journal of Science*, 247(1974) 321-355.
- [15] Ghent E.D.J., Nicholls P.S., Simony J.H., Sevigny M.Z., "Hornblende barometry of the Nelson batholiths, southeastern British Columbia: Tectonic implication", *Canadian Journal of Earth Sciences*, 28 (1991) 1982-1991.
- [16] Vyhnal C.R., McSween H.Y.Jr., "Hornblende Chemistry in southern Appalachian granitoids: Implication for aluminous hornblende thermobarometry and magmatic epidote stability", *American Mineralogist* 76(1991) 176-188.
- [17] Berberian F., Muir I.D., Pankhurst R.J., Berberian M., "Late Cretaceous and Early Miocene Andean type plutonic activity in northern Makran and central Iran", *Journal of the Geological Society of London*, 139, (1982) 605–14.
- [18] Hammarstrom J.M., Zen E., "Aluminum in hornblende: An empirical igneous geobarometer", *American Mineralogist* 71(1986) 1297–1313.
- [19] Johnson M.C., Rutherford M.J., "Experimental calibration of the aluminum-in-hornblende geobarometer with application to Long Valley Caldera (California) volcanic rocks", *Geology* 17 (1989) 837–841.
- [20] Schmidt M.W., "Amphibole composition in tonalite as a function of pressure: An experimental calibration of the Al-in-hornblende barometer", *Contribution to Mineralogy and Petrology*, 110 (1992) 304–310.

برشی شمال شهرکرد بانگرشی ویژه به حضور اپیبوت ماقمایی، مجله بلور شناسی و کانی شناسی ایران، شماره ۳ (۱۳۸۹) ۴۹۵-۵۱۰.

[۳] اسماعیلی د، طاخ شعبانی اع، نجار ح، رضایی م، "استفاده از شیمی کانی آمفیبول در بررسی ویژگی های ماقمایی و سازنده و زمین دما فشار سنجی توده های گرانیتوئیدی شمال غرب ساوه، ایران مرکزی"، مجله بلور شناسی و کانی شناسی ایران، شماره ۳ (۱۳۹۲) ۴۱۷-۴۳۰.

[4] Stein E., Dietl C., "Hornblende thermobarometry of granitoids from the Central Odenwald (Germany) and their implications for the geotectonic development of the Odenwald": *Mineralogy and Petrology* 72(2001), 185–207.

[5] Berberian F., "Petrogenesis of the Iranian Plutons: A study of the Natanz and Bazman intrusive Complexes", Ph.D. Thesis, Cambridge University (1981).

[۶] سهندی م.ر، پاداشی م، "نقشه زمین شناسی ۱/۱۰۰۰۰۰ چهارگوش بزمان، سازمان زمین شناسی و اکتشافات معدنی کشور"، (۱۳۸۴).

[۷] وحدتی دانشمند ف، جرجندی م، "نقشه زمین شناسی ۱/۱۰۰۰۰۰ چهارگوش مکسان، سازمان زمین شناسی و اکتشافات معدنی کشور"، (۱۳۸۳).

[8] Streckeisen A., "To each plutonic rock its proper name", *Earth-Science Reviews* 12 (1976), 1-33.

[9] Leake, B.E., Woolley A.R., Arps C.E.S., Brich W.D., Gilbert M.C., Grice J.D., Hawthorne F.C., Kato A., Kisch H.J., Krivovichey V.G., Linthout K., Laird J.A., Maresch W.V., Nickel E.H., Rock N.M.S., Schumacher J.C., Smith D.C., Stephenson N.C.N. Ungareti L., Whittaker E.J.W., Youzhi G., "Nomenclature of amphiboles: report of the subcommittee on amphiboles of the International Mineralogical Association, commission on new minerals and mineral names", *European Journal of Mineralogy* 9 (1997) 623-651.

[10] Sial A.N., Ferreira V.P., Fallick A.E., Jeronimo M., Cruz M., "Amphibol rich clots in calc-alkalic granitoids in the Borborema province

- [23] Blundy J.D., "Holland T.J.B., "Calcic amphibole equilibria and a new amphibole-plagioclase geothermometer", Contribution to Mineralogy and Petrology, 104 (1990) 208–224.
- [24] Wones D.R., "Significance of the assemblage titanite + magnetite + quartz in granitic rocks ", American Mineralogist, 74 (1989) 744-749.
- [25] Ishihara S., "The magnetite series and ilmenite –series granitic rocks", Mining Geology 27 (1977) 293-305.
- [21] Pal N., Pal D.C., Mishra B., Meyer F.M., "The evolution of the palim granite in the Bastar in province, Central India", Mineralogy and Petrology 72 (2001) 281-304.
- [22] Anderson J.L., Smith D.R., "The effects of temperature and fO_2 on the Al-in-hornblende barometer", American Mineralogist 80(1995) 549–559.